

# 一维伊辛(Ising)模型

相变, 对称性破缺与定积热容的临界指数

Yan Zha (查言) 

2024.10.17

## 1 一维Ising模型

### 1.1 一维Ising模型的平均场近似

一维Ising模型指的是将两个能级系统的量子状态( $|0\rangle$ 和 $|1\rangle$ )映射为沿着 $z$ 轴“向上”或“向下”的经典矢量的模型。其中, 对于任何一个 $S_i$ 可以取值为 $\pm 1$ 。一维Ising模型的哈密顿量 $\mathcal{H}$ 为:

$$\mathcal{H} = -J \sum_{\langle i,j \rangle} S_i S_j - h \sum_i S_i \quad (1)$$

其中,  $J$ 表示自旋间的相互作用(交换积分)。当自旋呈现平行排列时, 为保证系统的能量较低,  $J$ 为正值(铁磁); 当自旋呈现反平行排列时,  $J$ 为负值(反铁磁)。此处我们讨论的 $J$ 表示铁磁相互作用(ferromagnetic interactions), 指相邻自旋沿同一方向排列的“交换相互作用”。

每个自旋可以表示为其平均值和相对于平均值的偏差。因此, 式(1)可以写为:

$$\mathcal{H} = -J \sum_{\langle i,j \rangle} (\langle S_i \rangle + \delta S_i) (\langle S_j \rangle + \delta S_j) - h \sum_i S_i \quad (2)$$

展开上式可得:

$$\mathcal{H} = -J \sum_{\langle i,j \rangle} \{ \langle S_i \rangle \langle S_j \rangle + \delta S_i \langle S_j \rangle + \delta S_j \langle S_i \rangle + \delta S_i \delta S_j \} - h \sum_i S_i. \quad (3)$$

可以忽略 $\delta S_i$ 的二次项 $\delta S_i \delta S_j$ 。由于根据平均值的定义, 有 $\langle S_i \rangle = \langle S_j \rangle = \langle S \rangle$ , 因此式(3)可以写为:

$$\begin{aligned} \mathcal{H} &\approx -J \sum_{\langle i,j \rangle} \left\{ \langle S \rangle^2 + (\delta S_i + \delta S_j) \langle S \rangle \right\} - h \sum_i S_i \\ &= -J \sum_{\langle i,j \rangle} \left\{ \langle S \rangle^2 + (S_i - \langle S \rangle + S_j - \langle S \rangle) \langle S \rangle \right\} - h \sum_i S_i \\ &= -J \sum_{\langle i,j \rangle} \left\{ \langle S \rangle^2 + (S_i + S_j) \langle S \rangle - 2 \langle S \rangle^2 \right\} - h \sum_i S_i \\ &= J \sum_{\langle i,j \rangle} \langle S \rangle^2 - J \sum_{\langle i,j \rangle} (S_i + S_j) \langle S \rangle - h \sum_i S_i. \end{aligned} \quad (4)$$

此外, 由于在 $\sum_{\langle i,j \rangle}$ 中, 每个自旋的相互作用仅与它的第一近邻有关, 因此总和的上限由键(bond)的数量决定。键的数量 $N_B$ 定义为:

$$N_B = \frac{zN}{2} \quad (5)$$

其中,  $N$ 是自旋的数量,  $z$ 称为配位数(即一个格点与其相邻的格点之间的键的数量)。

$$\begin{aligned}
\mathcal{H} &= J \frac{zN}{2} \langle S \rangle^2 - J \frac{z}{2} \sum_i^N S_i \langle S \rangle - h \sum_i^N S_i \\
&= \frac{JzN}{2} \langle S \rangle^2 - Jz \langle S \rangle \sum_i^N S_i - h \sum_i^N S_i \\
&= \frac{JzN}{2} \langle S \rangle^2 - (Jz \langle S \rangle + h) \sum_i^N S_i \\
&= \frac{JzN}{2} \langle S \rangle^2 + \mathcal{H}_{\text{MF}}.
\end{aligned} \tag{6}$$

蓝色部分被称为“有效磁场(effective magnetic field)”，其中 $Jz \langle S \rangle$ 表示由周围自旋平均化后的“平均场”， $h$ 则表示外部磁场。

将平均自旋 $\langle S \rangle$ 替换为磁化强度(magnetization) $m$ ，并忽略原哈密顿量中的常数部分，平均场近似后的哈密顿量 $\mathcal{H}_{\text{MF}}$ 为：

$$\mathcal{H}_{\text{MF}} = -Jmz \sum_i^N S_i - h \sum_i^N S_i \tag{7}$$

该式与原哈密顿量 $\mathcal{H}$ 去掉常数部分后相同。某个自旋 $S_i$ 通过与周围自旋的相互作用受到的影响，可以视作等效于强度为 $Jmz$ 的外部磁场。

当不施加外部磁场时( $h = 0$ )，

$$\begin{aligned}
\mathcal{H}_{\text{MF}} &= -Jmz \sum_i^N S_i \\
&= -Jmz S_1 - Jmz S_2 - Jmz S_3 \cdots - Jmz S_N \\
&= \mathcal{H}_{\text{MF}_1} + \mathcal{H}_{\text{MF}_2} + \mathcal{H}_{\text{MF}_3} + \cdots + \mathcal{H}_{\text{MF}_N} \\
&= \sum_i^N \mathcal{H}_{\text{MF}_i}.
\end{aligned} \tag{8}$$

将每个自旋视作一个系统，并写出该系统的配分函数 $Z_1$ ：

$$\begin{aligned}
Z_1 &= \sum_{S_i=\pm 1} \exp(-\beta \mathcal{H}_{\text{MF}_i}) \\
&= \sum_{S_i=\pm 1} \exp(\beta Jmz S_i) \\
&= \exp(\beta Jmz) + \exp(-\beta Jmz).
\end{aligned} \tag{9}$$

某个自旋 $S_i$ 的平均值为：

$$\begin{aligned}
\langle S_i \rangle &= \frac{\sum_{S_i=\pm 1} S_i \exp(-\beta \mathcal{H}_{\text{MF}_i})}{Z_1} \\
&= \frac{\exp(\beta Jmz) - \exp(-\beta Jmz)}{\exp(\beta Jmz) + \exp(-\beta Jmz)} \\
&= \frac{\sinh(\beta Jmz)}{\cosh(\beta Jmz)} \\
&= \tanh(\beta Jmz).
\end{aligned} \tag{10}$$

由于系统的空间均匀性(即性质不随位置变化)， $S_i$ 的平均值 $\langle S_i \rangle$ 与该系统中任意自旋的平均值相同，因此可以用磁化强度 $m$ 来表示。整理上述式子后，可以得到：

$$m = \tanh(\beta Jmz). \tag{11}$$

这个方程被称为“自洽方程”，通过数值求解该方程，可以得到磁化强度 $m$ 的值(见图1)。

## 1.2 相变(phase transition)

$\beta$ 是温度的倒数，因此温度 $T$ 可以表示为 $\frac{1}{\beta}$ (取Boltzmann常数 $k$ 为1)。当系统温度低于 $Jz$ 时， $m$ 与 $\tanh(\beta Jzm)$ 的交点有三个，如图1所示。换句话说，当系统温度高于 $Jz$ 时，平均自旋只能为0。理论上，当系统温度低于 $Jz$ 时， $m$ 有两个非零解，需要从中选择一个，这意味着处于两种状态的叠加。

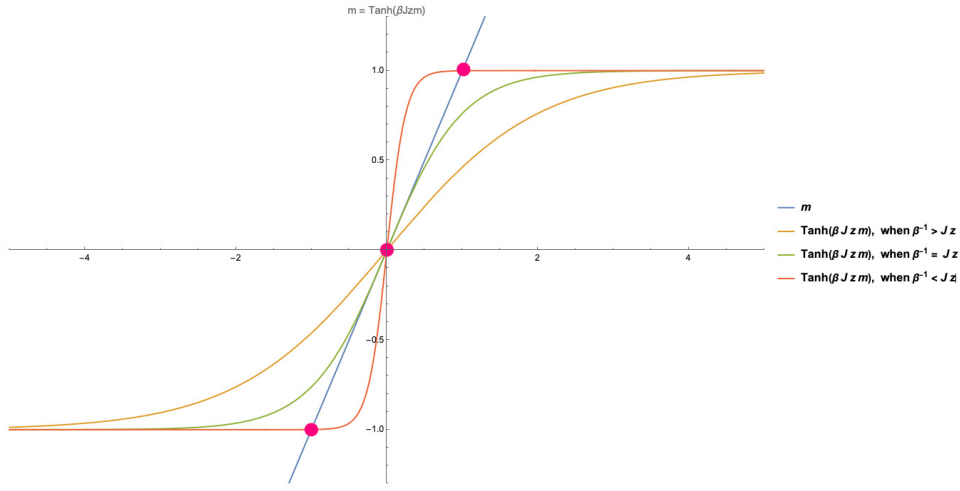


Figure 1: 自洽方程( $m = \tanh(\beta J z m)$ )的温度依赖性。当 $T = \beta^{-1} < J z$ 时,  $f(m) = m$ 的交点有三个。

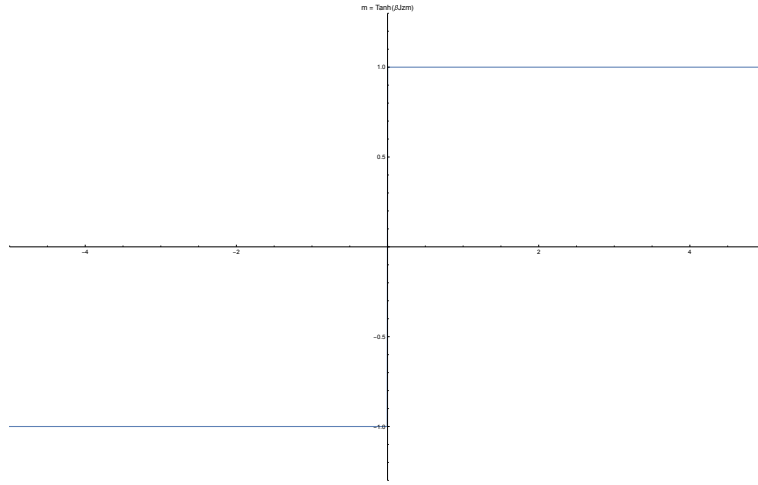


Figure 2: 当 $T \rightarrow 0$ 时的自洽方程( $m = \tanh(\beta J z m)$ )。

然而, 在现实世界中, 由于地球的磁场等微小的外部扰动(微扰), 会发生自发对称性破缺(spontaneous symmetry breaking), 导致自旋沿着扰动方向排列。这个 $J z$ 被称为“转变温度/临界温度(critical temperature)”, 通常记作 $T_c$ 或温度的倒数 $\beta_c$ 。

$$T_c = J z, \beta_c = \frac{1}{J z} \quad (12)$$

此外, 当转变温度被称为“居里温度(Curie temperature)”时,  $T_c$ 或 $\beta_c$ 中的小写字母 $c$ 也可以表示居里温度。

接下来讨论系统温度无限接近绝对零度(即温度的倒数 $\beta$ 无限接近无穷大 $\infty$ )时会发生什么。

如图2所示, 当系统温度无限接近绝对零度时, 函数会发生不连续的变化, 而非平滑地变化。在 $m \neq 0$ 的区域, 磁化强度值为常数, 且平行于横轴, 这表明在绝对零度时, 如果不施加外部磁场, 系统的磁化强度始终为最大值。

### 1.3 朗道的自由能现象论(朗道自由能)与自发性对称性破缺

在讨论二级相变点附近系统的定容比热 $C_V$ 之前, 让我们首先讨论朗道的自由能现象论, 并从中推导出定容比热和临界指数等。

首先, 考虑像Ising模型这样只有两个能级系统(即能量只能取正或负值的系统)的熵(entropy)。假设系统中自旋的数量为 $N$ , 向上自旋的数量为 $N_\uparrow$ , 向下自旋的数量为 $N_\downarrow$ 。那么系统可能的状态数 $W$ 为:

$$W = \frac{N!}{N_\uparrow! N_\downarrow!} \quad (13)$$

根据Boltzmann的熵公式(Boltzmann's entropy formula)

$$S = k_B \log W \quad (14)$$

以及Stirling公式

$$\log N! \approx N \log N - N \quad (15)$$

进行计算得到:

$$S = k_B \{N \log N - N_{\uparrow} \log N_{\uparrow} - N_{\downarrow} \log N_{\downarrow}\}. \quad (16)$$

此外, 将平均自旋 $\langle S \rangle$ 用全自旋数 $N$ 、向上自旋数 $N_{\uparrow}$ 、向下自旋数 $N_{\downarrow}$ 表示, 则有:

$$\langle S \rangle = \frac{1}{N} \sum_i S_i = \frac{1}{N} \{(+1) N_{\uparrow} + (-1) N_{\downarrow}\} = \frac{N_{\uparrow} - N_{\downarrow}}{N} \quad (17)$$

因此有:

$$N_{\uparrow} - N_{\downarrow} = N \langle S \rangle \quad (18)$$

由于 $N = N_{\uparrow} + N_{\downarrow}$ , 因此可以将 $N_{\uparrow}$ 和 $N_{\downarrow}$ 表示为全自旋数 $N$ 和平均自旋 $\langle S \rangle$ :

$$\begin{aligned} N_{\uparrow} &= \frac{N}{2}(1 + \langle S \rangle) \\ N_{\downarrow} &= \frac{N}{2}(1 - \langle S \rangle). \end{aligned} \quad (19)$$

因此, 系统的熵 $S$ 为:

$$\begin{aligned} S &= k_B \left\{ N \log N - \frac{N}{2} (1 + \langle S \rangle) \log \frac{N}{2} (1 + \langle S \rangle) - \frac{N}{2} (1 - \langle S \rangle) \log \frac{N}{2} (1 - \langle S \rangle) \right\} \\ &= k_B \left\{ N \log N - \frac{N}{2} (1 + \langle S \rangle) \left[ \log \frac{N}{2} + \log (1 + \langle S \rangle) \right] - \frac{N}{2} (1 - \langle S \rangle) \left[ \log \frac{N}{2} + \log (1 - \langle S \rangle) \right] \right\} \\ &= k_B \left\{ N \log N - N \log \frac{N}{2} - \frac{N}{2} (1 + \langle S \rangle) \log (1 + \langle S \rangle) - \frac{N}{2} (1 - \langle S \rangle) \log (1 - \langle S \rangle) \right\} \\ &= k_B N \left\{ \log 2 - \frac{1}{2} (1 + \langle S \rangle) \log (1 + \langle S \rangle) - \frac{1}{2} (1 - \langle S \rangle) \log (1 - \langle S \rangle) \right\} \\ &= \frac{1}{2} k_B N \{ 2 \log 2 - (1 + \langle S \rangle) \log (1 + \langle S \rangle) - (1 - \langle S \rangle) \log (1 - \langle S \rangle) \}. \end{aligned} \quad (20)$$

Helmholtz自由能 $F$ 定义为:

$$F = E - ST \quad (21)$$

因此求出能量 $E$ 后, 可以得到Helmholtz自由能 $F$ 。

当没有外部磁场时, Ising模型的能量 $E$ 可以通过每个能级的哈密顿量 $\mathcal{H}_{MF_i}$ 和配分函数 $Z_1$ 来计算。对于单个自旋, 能量 $E$ 为:

$$\begin{aligned} E &= \frac{\sum S_i = \pm 1 \mathcal{H}_{MF_i} \exp(-\beta \mathcal{H}_{MF_i})}{Z_1} \\ &= \frac{-Jz \langle S \rangle \exp(\beta Jz \langle S \rangle) + Jz \langle S \rangle \exp(-\beta Jz \langle S \rangle)}{\exp(\beta Jz \langle S \rangle) + \exp(-\beta Jz \langle S \rangle)} \\ &= -Jz \langle S \rangle \frac{\exp(\beta Jz \langle S \rangle) - \exp(-\beta Jz \langle S \rangle)}{\exp(\beta Jz \langle S \rangle) + \exp(-\beta Jz \langle S \rangle)} \\ &= -Jz \langle S \rangle \tanh(\beta Jz \langle S \rangle) \\ &= -Jz \langle S \rangle^2 \end{aligned} \quad (22)$$

对于多个自旋, 需要乘以 $\frac{N}{2}$  (因为在考虑平均场时, 会多次计算相同自旋的平均场效应, 因此需要乘以 $\frac{1}{2}$ ), 并将 $\langle S \rangle$ 替换为 $m$ , 得到能量 $E$ 为:

$$E = -\frac{1}{2} N Jz m^2. \quad (23)$$

将式(20)中的平均自旋 $\langle S \rangle$ 也替换为磁化强度 $m$ , 则Helmholtz自由能 $F$ 为:

$$\begin{aligned} F &= -\frac{1}{2} N Jz m^2 - \frac{1}{2} k_B N \{ 2 \log 2 - (1 + m) \log (1 + m) - (1 - m) \log (1 - m) \} \\ &= -\frac{1}{2} k_B T N (2 \log 2) - \frac{1}{2} N Jz m^2 + \frac{1}{2} k_B T N \{ (1 + m) \log (1 + m) - (1 - m) \log (1 - m) \} \end{aligned} \quad (24)$$

将与磁化强度 $m$ 无关的项 $-\frac{1}{2} k_B T N (2 \log 2)$ 记为 $F_0$ , 则Helmholtz自由能 $F$ 为:

$$F = F_0 - \frac{1}{2} N Jz m^2 + \frac{1}{2} k_B T N \{ (1 + m) \log (1 + m) - (1 - m) \log (1 - m) \}. \quad (25)$$

接下来计算秩序参数(order parameter) $m$ 很小时的Helmholtz自由能。

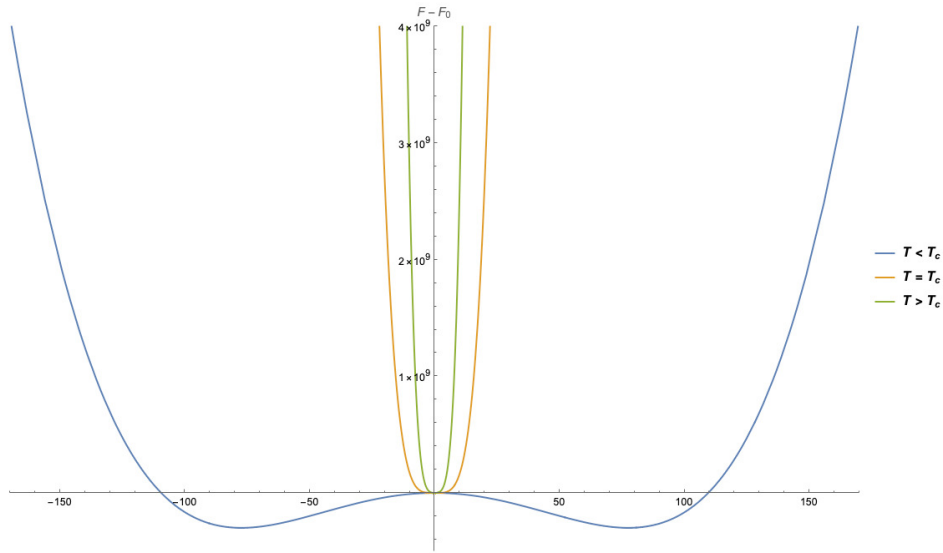


Figure 3: Landau拟自由能( $F - F_0$ )的温度依赖性。当 $T \geq T_c$ 时, 在 $m = 0$ 处自由能 $F$ 达到最小, 系统处于最稳定状态, 此时系统无磁性。相反, 当 $T < T_c$ 时, 在 $m = m_s$ 处自由能 $F$ 达到最小, 系统处于最稳定状态, 此时系统具有磁性。

对 $\log(1 - m)$ 和 $\log(1 + m)$ 进行Taylor展开, 分别得到:

$$\begin{aligned} \log(1 - m) &\approx -m - \frac{1}{2}m^2 - \frac{1}{3}m^3 - \frac{1}{4}m^4 - \dots \\ \log(1 + m) &\approx m - \frac{1}{2}m^2 + \frac{1}{3}m^3 - \frac{1}{4}m^4 + \dots \end{aligned} \quad (26)$$

取 $k_B = 1$ , 将其代入式(25)并计算至四次项(计算过程略去), 得到:

$$F = F_0 + \frac{1}{2}N(T - T_c)m^2 + \frac{1}{12}TNm^4. \quad (27)$$

如图(3)所示, 当 $T \geq T_c$ 时, 在 $m = 0$ 处自由能 $F$ 达到最小, 系统处于最稳定状态, 此时系统无磁性。相反, 当 $T < T_c$ 时, 在 $m = m_s$ 处自由能 $F$ 达到最小, 系统处于最稳定状态, 此时系统具有磁性。

通过对式(34)对磁化强度 $m$ 求偏导, 可以得到使自由能最小的自发磁化(spontaneous magnetization) $m_s$ 。

$$\frac{\partial(F - F_0)}{\partial m} = 0 \quad (28)$$

解得自发磁化 $m_s$ 为:

$$m_s = \pm \sqrt{3 \frac{|T - T_c|}{T}} \quad (29)$$

#### 1.4 二级相变点附近系统的定容比热 $C_V$ 与临界指数

二级相变(second-order phase transition)指的是体系的自由能的二阶微分呈现不连续性。对于Ising模型, 也具有这种性质。

接下来让我们讨论二级相变点附近系统的定容比热 $C_V$ 时。 $C_V$ 可以表示为:

$$C_V = \left( \frac{\partial E}{\partial T} \right)_V = -\frac{1}{2}NJz \frac{\partial m^2}{\partial T} \quad (30)$$

我们可以利用这个公式来讨论二级相变点附近系统的定容比热。

当 $T > T_c$ 时, 由于 $m_s = 0$ , 定容比热 $C_V$ 为:

$$C_V = -\frac{1}{2}NJz \frac{\partial 0}{\partial T} = 0 \quad (31)$$

另一方面, 当 $T \lesssim T_c$ 时,  $m_s = \pm \sqrt{3 \frac{|T - T_c|}{T_c}}$ (将分母中的 $T$ 替换为 $T_c$ ), 代入公式后得到定容比热:

$$C_V = -\frac{1}{2}NJz \frac{\partial \frac{3}{T_c} |T - T_c|}{\partial T} = \frac{3N}{2} \quad (32)$$

由此可见, 定容比热仅与总自旋数相关。系数 $\frac{3}{2}$ 表明三个方向的平移运动自由度各贡献 $\frac{1}{2}$ 。

更一般地, 定容比热 $C_V$ 可以表示为:

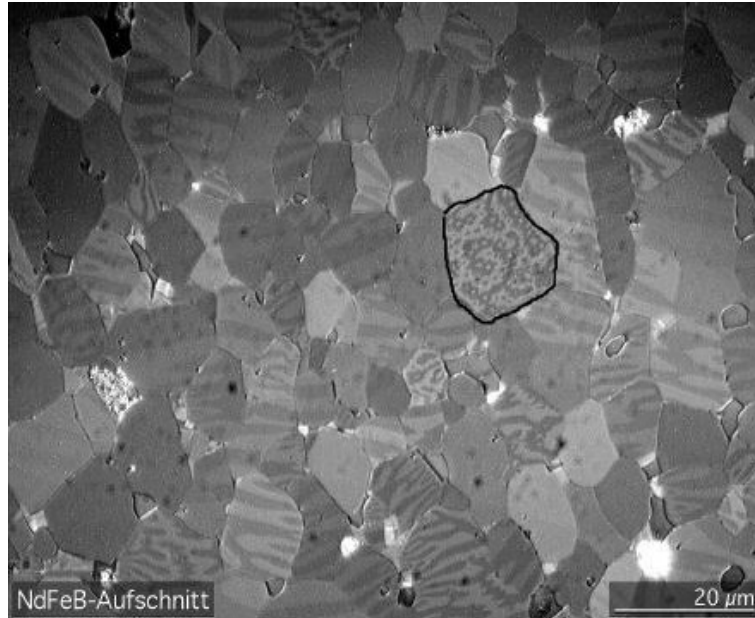


Figure 4: 在Kerr显微镜下观察到的NdFeB晶体中的磁畴，图片来自维基百科。

$$C_V \sim \begin{cases} |T - T_c|^{-\alpha}, & T < T_c \\ (T - T_c)^{-\alpha'}, & T > T_c \end{cases} \quad (33)$$

$\alpha$ 和 $\alpha'$ 被称为比热的临界指数(critical exponent of heat capacity)。从上式可以看出， $\alpha = \alpha' = 0$ 。

## 1.5 写在最后

虽然像Ising模型这样的二能级系统(即能量只能取正值或负值的系统)是“玩具模型”，但它们是理解相变和临界现象的有力工具。在二能级系统的自由能表达式中，磁化强度 $m$ 作为秩序参数包含其中(简单地说，自由能是磁化强度 $m$ 的函数)。当研究临界现象时，由于温度接近临界点，因此可以认为磁化强度 $m$ 足够小。于是，自由能可以在 $m = 0$ 附近展开为Taylor级数。二能级系统的自由能表达式中包含 $\log(1 + m)$ 和 $\log(1 - m)$ ，对这两个项进行Taylor展开后，奇数次幂项在计算中被消去，最终只保留了对称性的偶数次幂项。

$$F - F_0 = +\frac{1}{2}N(T - T_c)m^2 + \frac{1}{12}TNm^4. \quad (34)$$

由于 $F - F_0$ 是偶函数，因此即使将所有自旋变量的符号同时反转，自由能在自旋全反转的情况下仍保持不变。这种现象被称为全局反转对称性(global inversion symmetry)。如图(3)所示，当 $T \geq T_c$ 时，在 $m = 0$ 处自由能 $F$ 达到最小，系统处于最稳定状态，此时系统无磁性。相反，当 $T < T_c$ 时，系统的热平衡态为 $m = m_s > 0$ 或 $m = m_s < 0$ ，具体实现哪个状态取决于微小外部磁场(扰动)的符号或时间演化的初始条件。

在日常生活中，最常见的自发对称性破缺的例子就是“磁铁”。实际上，铁也是表现出这种现象的材料。然而，尽管受到地球磁场这种微弱外部磁场的影响，铁内部的“小磁铁(自旋)”会排列成一条直线并表现出磁性，但为什么铁并不总是表现出强磁性呢？

原因在于铁内部存在称为“磁畴(magnetic domain)”的微小区域(见图4)。在每个磁畴内，磁矩沿同一方向排列，但不同磁畴的排列方向是随机的，因此整体上不表现出磁性。为了使铁表现出磁性，需要施加比地球磁场更强的磁场。然而，铁和磁铁本质上都是强磁性材料。

## References

- [1] 新物理学系列35『相变与临界现象的统计物理学』，西森秀稔，2020年9月23日初版第13刷发行，培风馆。
- [2] 新物理学系列7『磁性』，金森顺次郎，1969，培风馆。